

# **Magasabb rendű nemlineáris kvantumprotokollok**

Portik Attila

2020. március 10.

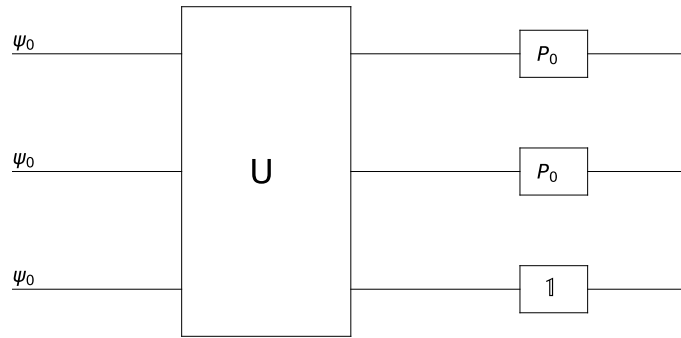
Jelen jegyzetben a BSc szakdolgozatom elkészítéséhez, és az ezen túlmutató munkámat szeretném összefoglalni, melyet Kiss Tamás és Kálmán Orsolya témavezetésével végeztem.

## **Tartalomjegyzék**

## Bevezetés és néhány alapfogalom

A vizsgálódásunk célpontjában egy olyan kvantuminformatikai protokoll szerepel, melyben egy nemlineáris leképezés szerepel, ezt az unitér transzformáció, mérés és posztszelekció egymásutáni alkalmazása alakítja ki. A vizsgálódásunk során, a fent leírt módon előállított nemlineáris, diszkrét idejű, leképezés hatását vizsgáljuk egy homogén állapotú qubit sokaságra, tiszta és kevert kezdőállapot esetén.

A kiinduló problémánk a következő: veszünk három azonos állapotú qubitet, végrehajtunk rajtuk egy unitér transzformációt, majd kettőt közülük megmérünk, a mérés eredményétől függően vagy megtartjuk vagy eldobjuk az adott qubiteket.



**1. ábra.** Nemlineáris transzformáció három qubites rendszere. Az ábra jelölései:  $\psi_0$  a qubitek kezdeti állapota,  $U$  unitér transzformáció amely összefonja a qubiteket,  $P_0$  a mérés.

A három qubites rendszer kezdeti állapota, az azt alkotó qubitek állapotának diádja adja:

$$\mathbf{S}_0 = \psi_0 \otimes \psi_0 \otimes \psi_0 \quad (0.1)$$

Ahol  $\psi_0 \in \mathcal{H}^{(2)}$ , kétdimenziós Hilbert térbeli állapotvektor, melyben a szokásos bázis a  $\{|0\rangle, |1\rangle\}$ , ekkor  $\psi_0$  megadható a következő módon:

$$\psi_0 = \alpha|0\rangle + \beta|1\rangle, \text{ ahol: } \alpha, \beta \in \mathbf{R} \quad (0.2)$$

Ha normált állapotokról beszélünk akkor  $\alpha$  és  $\beta$  teljesíti a következő feltételt:

$$\alpha^2 + \beta^2 = 1 \quad (0.3)$$

Hasonló módon megadható az állapot két valós paraméter helyett egy komplex paraméterrel:

$$\psi_0 = N(|0\rangle + z|1\rangle), \text{ , } z \in \hat{\mathbf{C}} \text{ ahol: } \hat{\mathbf{C}} \text{ a Riemann gömb, } \hat{\mathbf{C}} = \mathbf{C} \cup \infty \quad (0.4)$$

Ahol  $N$  normáltságból származó tagot,  $\frac{1}{\sqrt{1+z^2}}$  és a globális fázist tömörítő faktort tartalmazza, hiszen az lényegtelen az állapot leírásának szemszögéből.

Az ábra jelöléseit használva a rendszeren végzett mérés

$$\mathbf{P} = \mathbf{1} \otimes \mathbf{P}_0 \otimes \mathbf{P}_0 \quad (0.5)$$

ahol:

$$\mathbf{P}_0 = |0\rangle\langle 0| = \begin{pmatrix} 1 & 0 \\ 0 & 0 \end{pmatrix}$$

vagyis a  $|0\rangle$  érték mérése, ami egy projekció az adott bázis vektorra.

A qubitek összefonására alkalmazott transzformáció legyen:

$$\mathbf{U} = \begin{pmatrix} \mathbf{1}^{(4)} & \mathbf{0}^{(4)} \\ \mathbf{0}^{(4)} & \mathbf{J}^{(4)} \end{pmatrix} = \begin{pmatrix} 1 & 0 & 0 & 0 & 0 & 0 & 0 & 0 \\ 0 & 1 & 0 & 0 & 0 & 0 & 0 & 0 \\ 0 & 0 & 1 & 0 & 0 & 0 & 0 & 0 \\ 0 & 0 & 0 & 1 & 0 & 0 & 0 & 0 \\ 0 & 0 & 0 & 0 & 0 & 0 & 0 & 1 \\ 0 & 0 & 0 & 0 & 0 & 0 & 1 & 0 \\ 0 & 0 & 0 & 0 & 0 & 1 & 0 & 0 \\ 0 & 0 & 0 & 0 & 1 & 0 & 0 & 0 \end{pmatrix} \quad (0.6)$$

ahol a  $\mathbf{J}^{(4)}$  mátrix nem teljesen definiált de szimmetriai okok miatt a fenti módon vezetjük be.

Ekkor a fenti elrendezés a következő leképezést valósítja meg:

$$\mathbf{S} = \mathbf{P} \circ \mathbf{U} : N(|0\rangle + z^3|1\rangle) \rightarrow N'(|0\rangle + z|1\rangle) \quad (0.7)$$

A rendszer állapota bázisvektorokkal, azaz a szorzat alakú Hilbert térben bázist alkotó állapotokkal is megadható.

$$\psi_0 = N(|0\rangle + z|1\rangle) \Rightarrow \mathbf{S}_0 = N'(|000\rangle + z|001\rangle + z|010\rangle + z^2|011\rangle) + z|100\rangle + z^2|110\rangle + z^3|111\rangle \quad (0.8)$$

Látható, hogy, a rendszer állapotát egy  $8 \times 1$  vektorként is megadhatjuk, melyben minden érték a megfelelő bázisvektor együtthatója.

$$\mathbf{S}_0 = \begin{pmatrix} 1 \\ z \\ z \\ z^2 \\ z \\ z^2 \\ z^2 \\ z^3 \end{pmatrix} \quad (0.9)$$

Ezt a formalizmust használva könnyen látható fenti leképezést kapjuk a mátrix szorzások elvégzése után.

Fontos megjegyzés, hogy a továbbiakban gyakran a leképezés többszöri ismétléséről, iterálásáról lesz szó, ekkor nem egy három qubitból álló rendszerre haddatjuk a leképezést, hanem, ahogy már említettem, egy homogén állapotú rendszerre, ahol a qubiteket hármásával csoportosítjuk és a leírt módon összefonjuk őket. Könnyen belátható, hogy ezzel a módszerrel általános,  $n$  qubitre ható transzformációt vizsgálhatunk, szem előtt tartva hogy minél nagyobb  $n$  annál több qubitet kell eldobni lépéenként, és a qubitek száma az iterálással exponenciálisan csökken. A fenti leképezést értelmezve azt a fontos észrevételt tehetjük, hogy ennek iterálása során végig csak egy qubites állapotokat kell leírunk ami lényegesen könnyíti a helyzetünket.

Hogy teljesen általános legyen az általunk vizsgált transzformáció még haddatunk kell egy tetszőleges unitér operációt ( $\mathbf{U}_0$ ), ahogy fentebb is szerepel. Tetszőleges unitér transzformációt három paraméter segítségével adhatunk meg

$$\mathbf{U}_0(r, \varphi, \omega) = \begin{pmatrix} \cos(r)e^{-i\omega} & \sin(r)e^{-i\varphi} \\ -\sin(r)e^{i\varphi} & \cos(r)e^{i\omega} \end{pmatrix} \quad (0.10)$$

Itt mindhárom paraméter valós, de a kifejezés egyszerűsítésére bevezethetjük a következő jelölést:

$$p = \tan(r)e^{-i\varphi} \quad (0.11)$$

Az általam vizsgált problémák esetén az  $\omega \in [0, 2\pi]$  megválasztása fizikai szempontból irreleváns, csak a számítási bázis kijelölésének erejéig különböznek, ezért választhatjuk az értékét 0-nak.

Ekkor:

$$\mathbf{U}_0(\mathbf{r}, \varphi, \omega = 0) = \begin{pmatrix} \cos(r) & \sin(r)e^{-i\varphi} \\ -\sin(r)e^{i\varphi} & \cos(r) \end{pmatrix} = \cos(r) \begin{pmatrix} 1 & \tan(r)e^{-i\varphi} \\ -\tan(r)e^{i\varphi} & 1 \end{pmatrix} \quad (0.12)$$

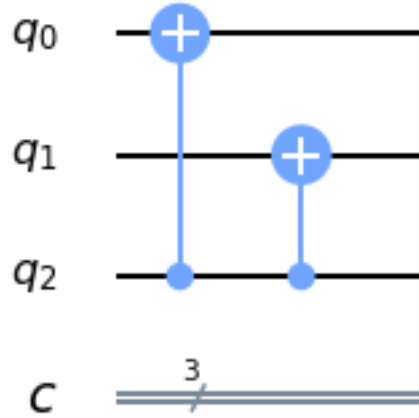
$$\mathbf{U}_0(p) = N \begin{pmatrix} 1 & p \\ -\bar{p} & 1 \end{pmatrix} \text{ ahol: } p \in \mathbb{C}, \text{ és } p \text{ a } p \text{ komplex konjugáltja.} \quad (0.13)$$

$$\mathbf{U}_0 : z \rightarrow \frac{z + p}{1 - \bar{p}z} \quad (0.14)$$

Ekkor  $\mathbf{S}$  és  $\mathbf{U}_0$  kompozícióját véve, megkapjuk a vizsgált leképezést:

$$f_p := \mathbf{U}_0 \circ \mathbf{S} : z \rightarrow \frac{z^3 + p}{1 - \bar{p}z^3} \quad (0.15)$$

A fenti rendszerben szereplő  $\mathbf{U}$  operátornak lehetséges az értelmezése mint két egymás után alkalmazott CNOT operátor, először az első és az utolsó majd a második és az utolsó qubitet kapcsolja össze.



**2. ábra.** A qubiteken alkalmazott CNOT kapuk.

$q_1$	$q_2$	$q_3$	P	$q_1$	$q_2$	$q_3$	P
0	0	0	1	0	0	0	1
0	0	1	$z$	0	0	1	$z$
0	1	0	$z$	0	1	0	$z$
0	1	1	$z^2$	0	1	1	$z^2$
1	0	0	$z$	1	1	1	$z^3$
1	0	1	$z^2$	1	1	0	$z^2$
1	1	0	$z^2$	1	1	0	$z^2$
1	1	1	$z^3$	1	0	0	$z$

**1. táblázat.** Az  $U$  transzformáció értéktáblázata.

### Általános számú qubit esetén

Az előzőekben felvázolt rendszer egyszerűen általánosítható több azonos állapotban lévő qubitre.  $n$  qubit esetén az utolsó  $n - 1$  qubit értékét mérjük és ez alapján hatjuk végre a szelekciót. Ekkor az  $U$  mátrix általános alakjának, egy lehetséges választása

$$U = \begin{pmatrix} \mathbf{1}^{(n)} & \mathbf{0}^{(n)} \\ \mathbf{0}^{(n)} & \mathbf{J}^{(n)} \end{pmatrix}$$

ahol  $\mathbf{1}^{(n)}$  a  $n$  dimenziós egységmátrix,  $\mathbf{0}^{(n)}$  az  $n$  dimenziós nullmátrix,  $\mathbf{J}^{(n)}$  pedig az  $n$  dimenziós egy csak 1-seket tartalmazó anti diagonális mátrix.

A rendszeren állapota és a rajta végzett mérés ekkor

$$\mathbf{S}_0 = \psi_0 \otimes \psi_0 \otimes \cdots \otimes \psi_0$$

$$\mathbf{P} = 1 \otimes \mathbf{P}_0 \otimes \cdots \otimes \mathbf{P}_0$$

A eredő leképezés

$$\mathbf{S} = \mathbf{P} \circ \mathbf{U}$$

Erre pedig még hatatjuk a fentieknek megfelelő általános transzformációt az így a kapott leképezés

$$f_{n,p} := \mathbf{U}_0 \circ \mathbf{S} : z \rightarrow \frac{p + z^n}{1 - \bar{p}z^n}$$

## Qubitek állapotterének reprezentálása

### Bloch gömb

A Bloch gömb a kétállapotú kvantumrendszerek geometriai reprezentálása. A globális fázis faktorban lévő szabadság miatt mindig fel lehet írni egy qubit állapotát, úgy hogy a  $|0\rangle$  -hoz tartozó valószínűségi együtttható valós szám legyen. Tehát egy qubit tetszőleges állapota leírható a következő alakban

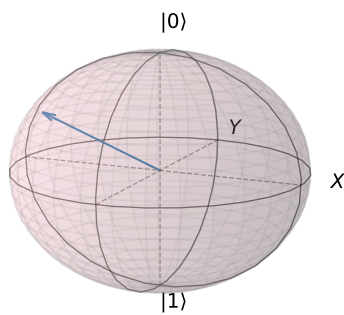
$$\psi = \cos(\theta/2)|0\rangle + e^{i\varphi} \sin(\theta/2)|1\rangle = \cos(\theta/2)|0\rangle + (\cos(\varphi) + i \sin(\varphi)) \sin(\theta/2)|1\rangle \quad (0.16)$$

ahol:  $\theta \in [0, \pi]$  és  $\varphi \in [0, 2\pi]$ .

Itt  $\theta$  és  $\varphi$  paraméterek értelmezhetők mint gömbi koordináták. A qubit minden lehetséges állapotának megfelel egy pont az egység sugarú gömb felszínén, az ezt leíró vektor

$$\mathbf{a} = (\sin(\theta) \cos(\varphi), \sin(\theta) \sin(\varphi), \cos(\theta)) \quad (0.17)$$

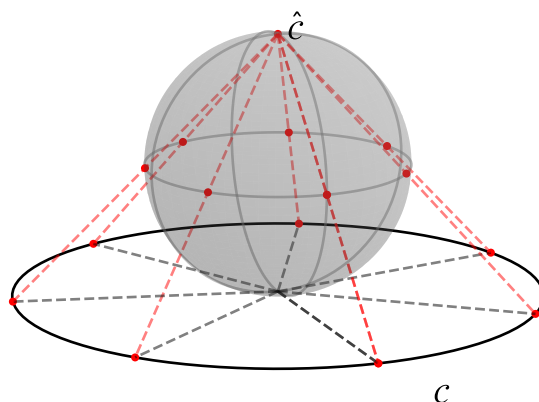
A Bloch gömböt el láthatjuk metrikával, érdemes ezt a metrikát a gömbi metrikának válasz, azaz két pont távolság legyen egyenlő az őket összekötő legrövidebb út hosszával.(a kijelölt görbe ívhossza) Ez a választás azért előnyös a számunkra mivel a Hilbert térbeli állapotok esetén a Bures metrikának felel meg:  $d(|\psi_1\rangle, |\psi_2\rangle) = 2 * \arccos(|\langle \psi_1 | \psi_2 \rangle|)$ , és ekkor a Bloch gömb izometriái megegyeznek az alatta fekvő Hilbert tér izometriáival, vagyis a Bloch gömb izometriái megfeleltethető a Hilbert tér unitér transzformációinak.



**3. ábra.** Bloch gömb vizualizációja



## A Riemann gömb vagy komplex számgömb



4. ábra. Riemann-gömb

A komplex számtest kibővíthető a  $z = \infty$  szimbólummal jelölt végtelennel. A komplex számokon értelmezett műveletek értelmezhetők erre az értékre az alábbi módon:

- $z + \infty = \infty + z = \infty$
- $z \cdot \infty = \infty \cdot z = \infty$ , ha  $z \neq 0$
- $z/\infty = 0$ , ha  $z \neq \infty$
- $\infty/z = \infty$ , ha  $z \neq \infty$
- $z/0 = \infty$ , ha  $z \neq 0$

Az így kiterjesztett objektuma komplex számgömb.

A  $z = \infty$  értéknek létezik geometria értelmezése is. A véges komplex számok azaz a komplex számtest elemei, kölcsönösen egyértelműen megfeleltethetők egy sík pontjaival, ez az úgynevezett komplex számsík( $\mathbb{C}$ ). A végtelennel kibővítvé a komplex számok pedig egy gömb pontjainak feleltethetők meg, ez a Riemann gömb. ( $\mathbb{C} \cup \{\infty\} = \hat{\mathbb{C}}$ ) (vagyis a komplex számsík lezártja.)

A véges komplex számok és a sík pontjai között a megfeleltetésére a síkban Descartes-féle koordináta rendszert rögzítünk, amelynek egyik tengelye a valós tengely, a másik tengelye képzetes tengely. Ekkor a sík minden  $(x, y)$  pontjának egyértelműen megfeleltetjük a  $z = x + i \cdot y$  komplex számot.

$$(x, y) \iff z = x + i \cdot y$$

A  $\mathbb{C}$  és  $\hat{\mathbb{C}}$  közötti megfeleltetés a komplex számgömb és azt egy pontban érintő komplex számsík közötti sztereografikus leképezéssel adható meg. A sztereografikus leképezés során a gömb síkkal való érintkezési pontjával, ami a komplex számsík origója, átellenes pontjából induló félegyenesek által a síkból kimetszett  $z \in \mathbb{C}$  pontot és a gömbből kimetszett  $z' \in \hat{\mathbb{C}}$  megfeleltetjük egymásnak. (A 4 ábra.) Ekkor 0 és  $\infty$  pontok rendre az érintkezési pontok és az azzal átellenes pontnak.

A  $z \in \mathbb{C}$  komplex szám a gömb kordinátái közötti kapcsolat:

Legyen most a gömb középpontja most  $(0, 0, 0)$  és sugara  $R = 1$ . A komplex szám gömbön  $\xi_i$  koordináták ekkor kielégítik a gömb egyenletét

$$\sum_{i=1}^3 \xi_i^2 = R^2 = 1$$

Most használjuk ki a sztereografikus leképezés definícióját: A  $(0, 0, 1)$  pont, a  $(\xi_1, \xi_2, \xi_3)$  pont és a  $(x, y, 0)$  egy egyenesen vannak, ekkor igaz a következő egyenlet:

$$\frac{\xi_1 - 0}{x - 0} = \frac{\xi_2 - 0}{y - 0} = \frac{\xi_3 - 1}{0 - 1}$$

Amiből következik

$$x = \frac{\xi_1}{1 - \xi_3}; y = \frac{\xi_2}{1 - \xi_3}; z = \frac{\xi_1 + i \cdot \xi_2}{1 - \xi_3}.$$

Így tehát megkaptuk a Riemann-gömből a számsíkra történő leképezést. A gömbegyenletét használva megkapjuk az inverz leképezéseket is.

$$\xi_1 = \frac{2x}{x^2 + y^2 + 1}; \xi_2 = \frac{2y}{x^2 + y^2 + 1}; \xi_3 = \frac{x^2 + y^2 - 1}{x^2 + y^2 + 1}.$$

$z$ -vel kifejezve:

$$\xi_1 = \frac{z + \bar{z}}{|z|^2 + 1}; \xi_2 = -i \cdot \frac{z - \bar{z}}{|z|^2 + 1}; \xi_3 = \frac{|z|^2 - 1}{|z|^2 + 1}.$$

A komplex számsíkon és komplex számgömbön történő vizsgáolásaink során szükségünk lehet egy megfelelő metrika definiálására.

**A komplex sík:**

A  $d : \mathbb{C} \times \mathbb{C} \rightarrow \mathbb{R}^+$  függvény, tetszőleges  $z_1, z_2 \in \mathbb{C}$  esetén eleget tesz a

$$d(z_1, z_2) = |z_2 - z_1|$$

relációt. Mivel az abszolútérték tulajdonsága miatt tetszőleges  $z_1, z_2 \in \mathbf{C}$  esetén a  $|z_2 - z_1| \geq 0$ ,  $|z_2 - z_1| = |z_1 - z_2|$  illetve ha  $|z_2 - z_1| = 0$  akkor  $z_1 = z_2$ , valamint  $d$  tudja a háromszög egyenlőtlenséget,  $d$  valóban metrika.

**Riemann gömb:**

Először definiáljuk a  $g : \hat{\mathbf{C}} \rightarrow \mathbf{S}$ , ahol  $\mathbf{S}$  a gömb felülete. Legyen a  $g(z)$  a következő hozzárendeléssel adott

$$g(z) := \begin{cases} h(z) & \text{ha } z \in \mathbf{C} \\ \infty & \text{ha } z = \infty \end{cases}$$

ez kölcsönösen egyértelmű leképezés a  $\mathbf{C} \cup \infty$  és a Riemann gömb között.

Ekkor legyen a  $\eta : \hat{\mathbf{C}} \times \hat{\mathbf{C}} \rightarrow \mathbf{R}^+$  függvény tetszőleges  $z_1, z_2$  esetén

$$\eta(z_1, z_2) = d(g(z_1), g(z_2))$$

ahol  $d$  az  $\mathbf{S}$ -en értelmezett metrika.

Az így definiált metrika néhány tulajdonsága:

- $\eta(z_1, z_2) = \frac{|z_1 - z_2|}{(1 + |z_1|^2)(1 + |z_2|^2)}$
- $\eta(z, \infty) = \eta(\infty, z) = \frac{1}{(1 + |z|^2)}$
- $\eta(\infty, \infty) = 0$
- $\eta(0, z) = \frac{|z|}{\sqrt{1 + |z|^2}}$
- $\eta(0, \infty) = 1$

A Riemann-gömb bevezetése után bevezethetjük az általános **Riemann-felületet** ami nem más mint egy egy dimenziós, összefüggő komplex sokaság, a komplex sík deformált változata. A Riemann-felületek egy fontos tulajdonsága, hogy holomorf függvények határozhatók meg közöttük.

Legyenek az  $S$  és  $S'$  Riemann-felületek konform izomorfak, ha létezik a kettő között egy homeomorfia, amely holomorf és létezik holomorf inverze.

A Riemann-felületek fontos tulajdonságát adhatjuk meg **Poincaré és Koebe** alapján : Bármely egyszeresen összefüggő Riemann-felület konform izomorf a következőkkel:

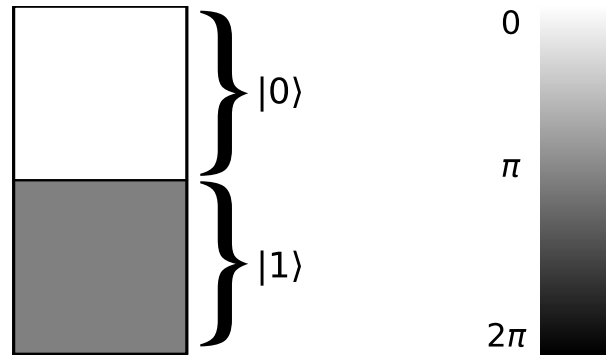
- $\mathbf{C}$  komplex síkkal, mely tartalmazza az összes komplex számot
- $\mathbf{C}$ -beli egy sugarú nyílt körlappal ( $\mathbf{U}$ ),  $\mathbf{U} \subset \mathbf{C}$ ,  $\mathbf{U} = \{z : |z| < 1\}$
- a Riemann-gömbbel,  $\hat{\mathbf{C}} = \mathbf{C} \cup \{\infty\}$

Ez a tulajdonság sokszor egyszerűítési lehetőséget jelent, mivel tetszőleges egyszeresen összefüggő Riemann-felületről áttérhetünk a fentiek valamelyikére ha az jobban illeszkedik a vizsgált problémához. A komplex

számgömbnek is ismert egy fontos tulajdonsága amelyet, az [1] alapján így fogalmazhatunk meg:  $\hat{C}$  minden konform automorfizmusa, azaz bijektív, művelettartó, önmagára történő leképezése, kifejezhető mint egy lineáris tört függvénnyel megadott transzformáció vagy mint egy Möbius transzformáció.

**Möbius transzformáció:** A  $g(z) = \frac{az + b}{cz + d}$  hozzárendeléssel adott függvény Möbius transzformáció, ha a benne szereplő együtthatók komplexek és  $ad - bc \neq 0$

### Egy qubit vizualizációja



5. ábra. A  $N \cdot (|0\rangle + |1\rangle)$  vizualizációja.

A fenti ábrának megfelelően ábrázolhatunk egy qubitet grafikusán egy egységnyi oldalhosszúságú téglalap két részre osztásával. Ekkor a két rész aránya megegyezik a  $|0\rangle$  és  $|1\rangle$  együtthatói arányának a négyzetével, vagy is a mérési valószínűségek arányával. A téglalap kétrészeinek az árnyalatbeli különbsége kódolja az együtthatók fázis különbségét.

#### Dinamikai rendszerek elmélete:

az állapottérrel leírt rendszerek időbeli fejlődésével foglalkozik. Egy ilyen rendszert állapot jelzőkkel írhatunk le, ezek kezelhetjük úgy mint egy geometria teret vagy sokaságot leíró koordináták. A rendszer időfejlődése valamilyen szabályszerűség határozza meg, ez lehet egy folytonos vagy valamely diszkrét változás. Általában ezt egy leképezés vagy differenciál egyenlettel szokták megadni. Az időfejlődés fontos tulajdonsága, hogy determinisztikus, azaz a jelenlegi állapotról, adott időintervallum elteltével, diszkrét időfejlődés esetén adott számú lépés után, csak egyetlen jövőbeli állapot következhet be.

A dinamikai rendszer teljes általánossággal egy  $(\mathbf{T}, \mathbf{M}, \varphi)$  rendezett 3-as, ahol  $\mathbf{T}$  egy egységelemes félcsoport,  $\mathbf{M}$  egy nem üres halmaz,  $\varphi : \mathbf{U} \subseteq (\mathbf{T} \times \mathbf{M} \rightarrow \mathbf{M})$  függvény.

Az általunk vizsgált rendszerekben az állapot jelzők tipikusan komplex mennyiségek, az időfejlődés diszkrét idejű, komplex leképezéssel adott  $f : \hat{C} \rightarrow \hat{C}$ .

A  $z_0 \in \hat{\mathbb{C}}$  kezdeti állapot időfejlődése:

$$\begin{array}{c}
 z_0 \\
 \downarrow \\
 z_1 = f(z_0) \\
 \downarrow \\
 z_2 = f(z_1) = f^{\circ 2}(z_0) \\
 \downarrow \\
 \dots \\
 \downarrow \\
 z_n = f^n(z_0) = f^{\circ n}(z_0)
 \end{array}$$

A időfejlődést megadó leképezés csak a közvetlen következő állapotot adja meg, vagyis a rendszert leíró állapotot egy nagyon rövid idő elteltével. Ha a rendszer állapotára hosszú idő elteltével vagyunk kíváncsiak, akkor értelemszerűen a több egymás utáni kis időlépést kell tenni, vagyis a leképezést kell iterálni, ez az eljárás a dinamikai rendszer integrálása vagy megoldása. Ha egy rendszer megoldható akkor adott kezdeti állapotból valamilyen jövőbeli állapot meghatározható, ezt pedig az állapottérbeli trajektóriák vagy orbitnak nevezzük.

## A tiszta kezdőállapotok esete

A bevezető rész alapján elmondhatjuk, hogy az eredeti problémát sikerült reprezentálni a Riemann gömbön, itt minden állapotnak megfelel egy komplex szám, a transzformációnak egy komplex leképezés, melynek két valós szabadsági foka helyett bevezetünk egy komplex szabadsági fokot, a  $p$  paraméter által. A Riemann gömb feletti, fent meghatározott komplex leképezés, mint időfejlődés, által generált dinamika vizsgálatával foglalkozik. A egy adott dinamikai tulajdonságainak meghatározása nagyon bonyolult feladat, szerencsére adott nevezetes pontok, és a hozzájuk tartozó trajektóriák vizsgálatával fontos, a teljes dinamikára vonatkozó tulajdonságot határozhatunk meg. A mérés és posztszelekció által, a fenti módon, meghatározott transzformáció Riemann gömbi reprezentációja

$$f_p : \mathbb{C} \rightarrow \mathbb{C}, \quad f_p(z) = \frac{z^3 + p}{1 - \bar{p}z^3} \quad (0.18)$$

dinamikai rendszer időfejlődése.

### Fix pontok

Első lépésben a dinamika rendszer fixpontjait határozzuk meg. Az  $f : \hat{\mathbb{C}} \rightarrow \hat{\mathbb{C}}$  leképezés fixpontjai, azok a  $z \in \hat{\mathbb{C}}$  pontok amelyekre igaz, hogy  $f(z) = z$ , azaz 1 hosszúságú periodikus orbit. Az [1] alapján a

fixpontok számáról a következőket mondhatjuk:

$\hat{C}$  minden automorfizmusának, kivéve az identitást, létezik két különböző fixpontja, vagy egy dubla fixpontja  $C$ -ben. Tehát biztos van a leképezésünk, komplexsíkon legalább egy fixpontja.

Minden  $d$  fokú racionális leképezésnek ami nem azonosan a  $z$ , pontosan  $d + 1$  fixpontja van. Vagyis a mi esetünkben 4 darab fixpontnak kell léteznie.

Bizonyítás: Feltételezhetjük, hogy a végtelen nem fixpontja  $f$ -nek, mivel ha az lenne át térhetnénk a egy dinamikailag ekvivalens leképezésre. Felírhatjuk a leképezést az  $f(z) = p(z)/q(z)$  alakban, azaz mint két polinom aránya. Itt  $q(z)$  egy  $d$  fokú,  $p(z)$  egy legfeljebb  $d$  fokú polinom. A fixpontok definíciója alapján, ekkor azok meghatározásához a  $p(z)/q(z) = z$  egyenletet kell megoldani. Kissé átalakítva kapjuk  $p(z) = zq(z)$  egyenletet, mely egy  $d + 1$  fokú polinom egyenlet, melynek a komplex számok körében mindig van  $d + 1$  megoldása.

Ezek meg is határozhatóak az alábbi módon.

$$f(z) = \frac{z^3 + p}{1 - \bar{p}z^3} = z \Rightarrow \bar{p}z^4 + z^3 - z + p = 0 \quad (0.19)$$

Ez egy komplex együtthatós negyedfokú polinom egyenlet, amelynek négy komplex megoldása van. A megoldásait általános  $p$  esetén meghatározhatjuk, de  $p \in \mathbb{C}$ ,  $\Re(p) = 0$  esetben lényegesen egyszerűbb megoldás adódik.

Először vizsgáljuk a  $p \in \mathbb{C}$ ,  $\Re(p) = 0$ , ekkor  $\bar{p} = -p$ , így a (0.19) egyenlet

$$-pz^4 + z^3 - z + p = 0$$

alakot ölti, mely azzal az egyszerű észrevétellel, hogy minden  $p$  esetén, az 1 és a  $-1$  gyöke, visszavezethető egy másodfokú egyenletet amelynek melynek megoldása, könnyen megadható.

$$(z - 1)(z + 1)(-pz^2 + z - p) = 0$$

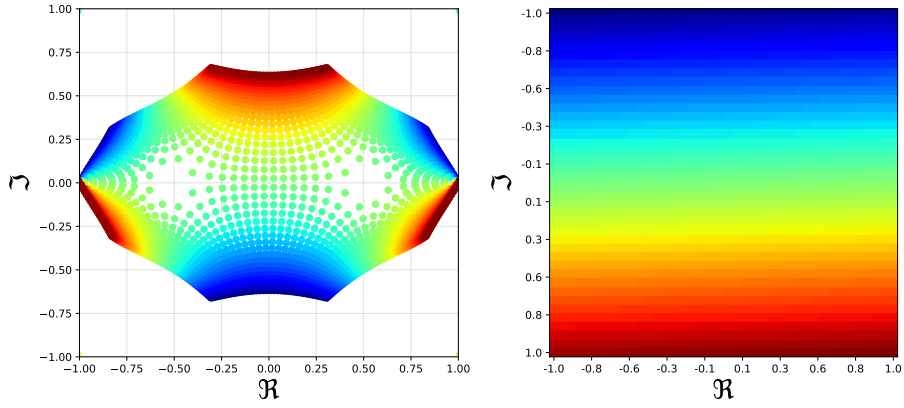
Tehát

$$z_1 = 1, z_2 = -1, z_3 = \frac{1 + \sqrt{1 - 4p^2}}{2p}, z_4 = \frac{1 - \sqrt{1 - 4p^2}}{2p}$$

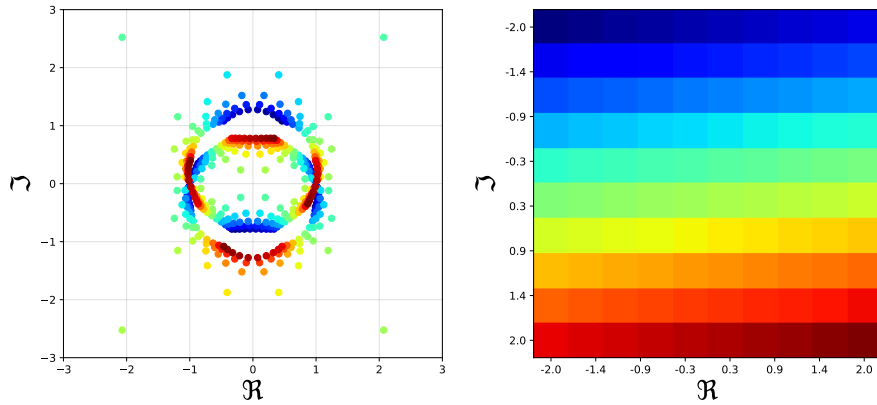
Most legyen  $\Im(p) = 0$  ekkor  $\bar{p} = p$ , vagyis a (0.19) egyenlet

$$pz^4 + z^3 - z + p = 0$$

Hasonlóan az előző esethez itt is könnyen megadhatók analitikusan az egyenlet gyökei, viszont itt nem jelennek meg olyan gyökök melyek minden  $p$  esetén azonosak. Vizsgáljuk a fixpontok komplexsíkon való elhelyezkedését a  $p$  paraméter függvényében. A megoldásokat analitikusan meghatározhatjuk a  $p$  függvényében, ezek túl hosszúak és kevésbé érdekesek ahhoz, hogy itt feltüntessem őket. A fixpontok ábrázolása a  $p$  függvényében nehézkes, mert négy komplex mennyiség és egy komplex paraméter kapcsolatát kellene vizualizálni, erre egy lehetőség az alábbi ábrázolás.



**6. ábra.** Az  $f(z) = \frac{p + z^3}{1 - \bar{p}z^3}$  leképezés fixpontjai, a paraméter sík egy 0 körüli  $a = 4$  oldalhosszúságú, négyzet alakú tartományból, egyenletesen vett 100  $p$  értékek esetén.



**7. ábra.** Az  $f(z) = \frac{p + z^3}{1 - \bar{p}z^3}$  leképezés fixpontjai, a paraméter sík egy 0 körüli  $a = 4$  oldalhosszúságú, négyzet alakú tartományból, egyenletesen vett 1600  $p$  értékek esetén.

A fenti ábrákon a paraméter téből kiválasztott részeket felosztottam egyenletesen kisebb tartományokra, melyeket az elhelyezkedésük szerint elláttam színekkel. Majd minden tartomány kiválasztva egy  $p$  értéket meghatároztam a hozzá tartozó fixpontokat, ezek lettek ábrázolva a jobb oldali ábrán, ezen minden pont egy fixpontnak felel meg a színe pedig azt mutatja melyik  $p$  értékhez tartozik. A fenti ábrák alapján megfigyelhető a fixpontok eloszlása, a paraméter változtatásával a fixpontok elmozdulása a komplex síkon és az így kialakult összetett komplikált geometria. Megfigyelhető egyfajta szimmetria a leképezésben, ha teljesül

$$\bar{p}z^4 + z^3 - z + p = 0$$

az egyenlet akkor teljesülnek az alábbi relációk

$$p \rightarrow \bar{p} \Rightarrow z \rightarrow \bar{z}$$

$$p \rightarrow -\bar{p} \Rightarrow z \rightarrow -\bar{z}$$

Ez formálisan azt jelenti, hogy a fentebb reprezentált fixpontok által alkotott rendszer szimmetrikus mind a valós, mind a képzetes tengelyre. A leképezés ezen tulajdonságai már a (0.19) egyenlet alakjából látszik.

$$\bar{p}z_p^4 + z_p^3 - z_p + p = 0 \Rightarrow \overline{\bar{p}z_p^4 + z_p^3 - z_p + p} = 0 \Rightarrow p\bar{z}_p^4 + \bar{z}_p^3 - \bar{z}_p + \bar{p} = 0$$

$$\bar{p}z_p^4 + z_p^3 - z_p + p = 0 \Rightarrow \overline{-\bar{p}(-z_p)^4 + (-z_p)^3 - (-z_p) - p} = 0 \Rightarrow -p(-\bar{z}_p)^4 + (-\bar{z}_p)^3 - (-\bar{z}_p) - \bar{p} = 0$$

ahonnan

$$z_{\bar{p}} = \bar{z}_p, z_{-\bar{p}} = -\bar{z}_p$$

A fentiekben csak a 0 értékhez közeli  $p$  esetén néztük meg a fixpontokat, de az ezeket meghatározó egyenletet vizsgálva

$$\bar{p}z^4 + z^3 - z + p = 0 \rightarrow z^4 = \frac{(-z^3 + z - p)}{\bar{p}} = -\frac{z^3}{\bar{p}} + \frac{z}{\bar{p}} - \frac{p}{\bar{p}}$$

$$|p| \rightarrow \infty \Rightarrow z \rightarrow \sqrt[4]{-\frac{p}{\bar{p}}}$$

A számolásaim során általában a  $p \in \{1, i, 1+i\}$  értéket használjuk példának, mert ugyan nem adnak teljes képet a leképezésről a  $p$  paraméter függvényben, de mégis jól szemléltetik a leképezés, és az általa generált leképezés tulajdonságait különböző típusú  $p$  esetén.

$p$	$z_1$	$z_2$	$z_3$	$z_4$
1	0.566 + 0.459i	0.566 - 0.459i	-1.066+0.864i	-1.066 -0.864i
$i$	1	-1	0,618i	-1.618i
$1+i$	0.305 +0.662i	0.830 - 0.306	-0.575-1.246i	-1.060 +0.391i

**2. táblázat.** A kiválasztott  $p$  értékéhez tartozó fixpontok.

A fentiekben az  $\frac{p+z^3}{1-\bar{p}z^3}$  leképezést vizsgáltuk de nagyon hasonlóan járhatnánk el, általános  $f_{n,z}$  leképezés esetén is. Ekkor a

$$f_{n,z}(z) = \frac{z^n + p}{1 - \bar{p}z^n} = z \Rightarrow \bar{p}z^{n+1} + z^n - z + p = 0 \quad (0.20)$$

egyenlet határozza meg dinamika fixpontjait. A fenti tételek összhangban ennek az egyenletnek is  $n+1$  megoldása van a komplex számok körében, így  $n+1$  fixpontja van.

## A fixpontok tulajdonságai

Adott  $f : S \rightarrow \hat{\mathbb{C}}$ , függvény esetén, ahol  $S \subseteq \hat{\mathbb{C}}$  bevezethetjük a fixpontok egy klasszifikációját, a viselkedésük alapján.

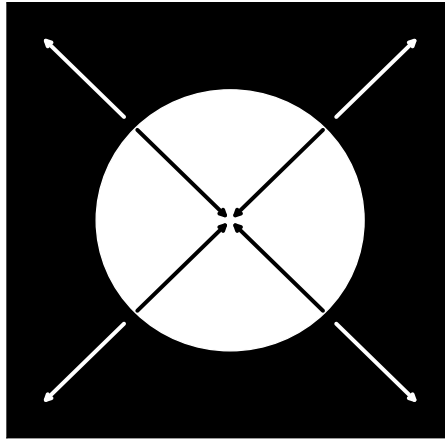


A  $z_0 \in \mathbf{S}$  véges fixpont, ha  $z_0 \in \mathbf{C} = \hat{\mathbf{C}} \setminus \{\infty\}$ .

A  $z_0 \in \mathbf{S}$  pont, taszító fixpont, ha  $f(z_0) = z_0$  és létezik olyan  $\mathbf{B}(z_0) \subset \mathbf{S}$  környezete, hogy minden  $z \in \mathbf{S} \cap \mathbf{B}(z_0) \setminus \{z_0\}$  esetén  $|f(z) - z_0| > |z - z_0|$ . A fenti tulajdonság a  $\infty$  pontra is kiterjeszthető. A  $\infty$  pont taszító fixpont, ha  $f(\infty) = \infty$  és minden  $z \in \mathbf{S} \cap \mathbf{B}(\infty) \setminus \{\infty\}$  esetén  $|f(z)| < |z|$ .

A  $z_0 \in \mathbf{S}$  pont vonzó fixpont, ha  $f(z_0) = z_0$  és létezik olyan  $\mathbf{B}(z_0)$  nyílt környezete, hogy minden  $z \in \mathbf{S} \cap \mathbf{B}(z_0)$  esetén az  $f(z) \in \mathbf{B}(z_0)$  és  $\lim_{n \rightarrow \infty} f^{on}(z) = z_0$ , vagy is tetszőleges  $\epsilon > 0$  esetén létezik  $N$ , hogy ha  $n > N$  akkor  $|f^{on}(z) - z_0| < \epsilon$ .

Egy  $z_0 \in \mathbf{S}$  vonzó fixpont esetén definiálhatjuk a pont  $\mathbf{A}(z_0) \subset \mathbf{S}$  vonzási tartományát  $A(z_0) = \{z \in \hat{\mathbf{C}} : \lim_{n \rightarrow \infty} f^{on} = z_0\}$ . Ugyanez függ az  $f$  függvénytől de amikor nem szükséges ezt nem tüntetjük fel.



8. ábra. Caption

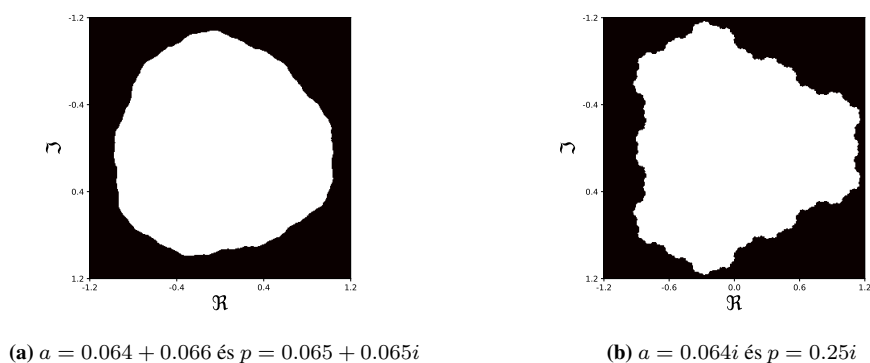
A [1] és a [5] alapján kiegészíthetjük a fent bevezetett klasszifikáció és kapcsolatot teremthetünk a függvény fixpontjainak tulajdonságai és a deriváltjának a fixpontbeli értéke között.

Legyen most az  $f : \mathbf{S} \rightarrow \hat{\mathbf{C}}$  függvény differenciálható, és  $z_0$  ennek egy fixpontja, a  $\lambda_{z_0} = \left. \frac{\partial f}{\partial z} \right|_{z_0}$  érték alapján:

- taszító, ha  $|\lambda| > 1$
- semleges, ha  $|\lambda| = 1$
- vonzó, ha  $|\lambda| < 1$
- szuper vonzó, ha  $|\lambda| = 0$

A semleges pontok általánosítása a parabolikus pontok, ekkor  $\lambda$  egy egységgyök.

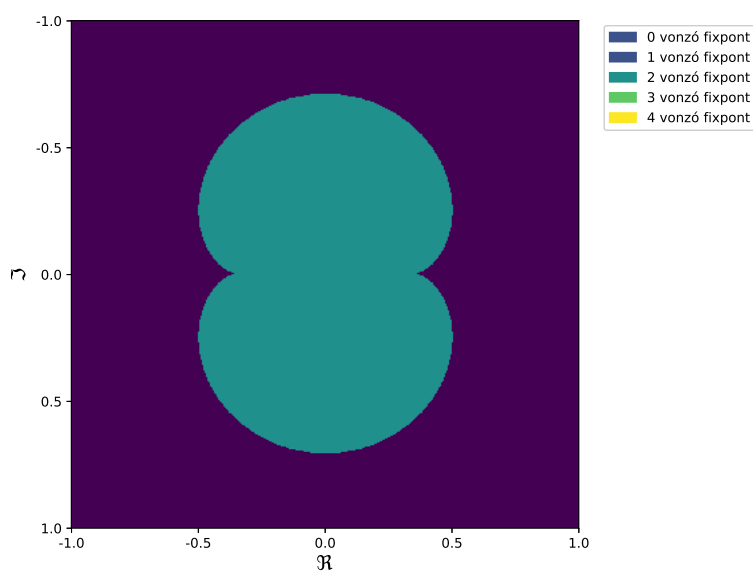
Ennek az osztályozásának később lesz jelentősége, adott pont iteráljának, azaz az  $z_n = f^{on}(z_0)$  pontok viselkedésének leírásában.



9. ábra. Az  $a$  pont vonzási tartománya a  $p$  paraméterhez tartozó leképezés esetén

## Vonzó fixpontok

A megvizsgálhatjuk a paramétertér szerkezetét aszerint is, hogy milyen típusú fixpontok tartoznak hozzá. Vizsgáljuk a vonzó fixpontokat. A paramétertér vizsgálatához először fel kell vennünk a paraméter térnek egy felosztását, ebben az esetben a  $p = 0 + 0 \cdot i$  körüli, 1 oldalhosszúságú tartományt vizsgáljuk, és itt felveszünk egy  $1000 \times 1000$  rácsot, melyben szereplő  $p$  értékekre meghatározzuk fixpontokat és kiválasztjuk közülük a vonzóak.



10. ábra. A paramétertér origó körüli részének a szerkezete  $p$  paraméterhez tartozó vonzó fixpontok száma szerint.

Észrevehető a sajátos szerkezete a paramétertérnek, szimmetrikus mind a valós mind a képzetes tengelye és jól elkülönülő tartományokat találtunk. Csak olyan  $p$  értéket találtunk, melyeknél a 0 vagy 2 fixpont van. Az [1] ban a racionális törtfüggvényekre kimondott tétel alapján kijelenthetjük, hogy :

**Tétel:**

Egy  $d \geq 2$  fokú racionális leképezésnek legfeljebb  $2d - 2$  vonzó vagy parabolikus fixpontja lehet. Amivel nem tartalmaz fontos információkat a vizsgálatunk szemszögéből így nem részletezzük a tétel bizonyítását, a bizonyítás szerepel a megjelölt forrásban, ennek alapja a kritikus pontok maximális száma, amelyre a definíciója alapján lehet következtetni.

Tehát esetünkben  $d = 3$ , vagyis maximum  $2d - 2 = 4$  darab vonzó fixpontja van a leképezésünknek, melyből a fenti tartomány belsejében lévő  $p$  értékek esetén megtaláltunk 2 darabot. Viszont nem teszteltük a teljes paraméter teret, at is igaz ugyanakkor, hogy mivel a leképezések  $\infty$  körüli viselkedését a másik térképre történő áttéréssel tudjuk vizsgálni, de ekkor

$$\frac{1}{z} \circ f_p \circ \frac{1}{z} = \frac{1}{z} \circ \frac{p + z^3}{1 - \bar{p}z^3} \circ \frac{1}{z} = \frac{-\bar{p} + z^3}{1 + pz^3} = f_{-\bar{p}} \quad (0.21)$$

tehát, ha olyan 0 körüli részt választunk a parmétertérből ami szimmetrikus a képzetes tengelyre, azaz minden  $p$  esetén ami benne van, tartalmazza a  $-\bar{p}$  is, akkor egyben a  $\infty$  környezetét is vizsgáljuk.

Az elvégzett műveleteket általános esetben is elvégezhetjük. Ahogy már említettük az  $n$  rendű leképezések esetén az

$$\bar{p}z^{n+1} + z^n - z + p = 0$$

egyenletet kell megoldani, magasabb  $n$  értékek esetén ezt a polinom Frobenius kísérő mátrixának sajátértékei meghatározásával lehet megtenni. Egy polinom kísérő mátrixa, az a mátrix melynek a polinom a minimál polinomja. Ez a módszer részletesen ismertetve van a [3] könyvben. A lényege, hogy a polinomhoz rendelt speciális mátrix sajátértékei megadják annak gyökeket, a mátrix sajátértékeinek meghatározása, lineáris algebrai módszerrel sokkal hatékonyabb mint a legtöbb más gyökkereső algoritmus. Általános  $p(z) = c_0 + c_1z + c_2z^2 \dots c_{n-1}z^{n-1} + z^n = 0$  polinomhoz tartozó kísérő mátrix

$$\begin{pmatrix} 0 & 0 & \dots & 0 & -c_0 \\ 1 & 0 & \dots & 0 & -c_1 \\ 0 & 1 & \dots & 0 & -c_2 \\ \vdots & \vdots & \ddots & \vdots & \vdots \\ 0 & 0 & \dots & 1 & -c_{n-1} \end{pmatrix}$$

Tehát a  $\bar{p}z^{n+1} + z^n - z + p$  polinom esetén a

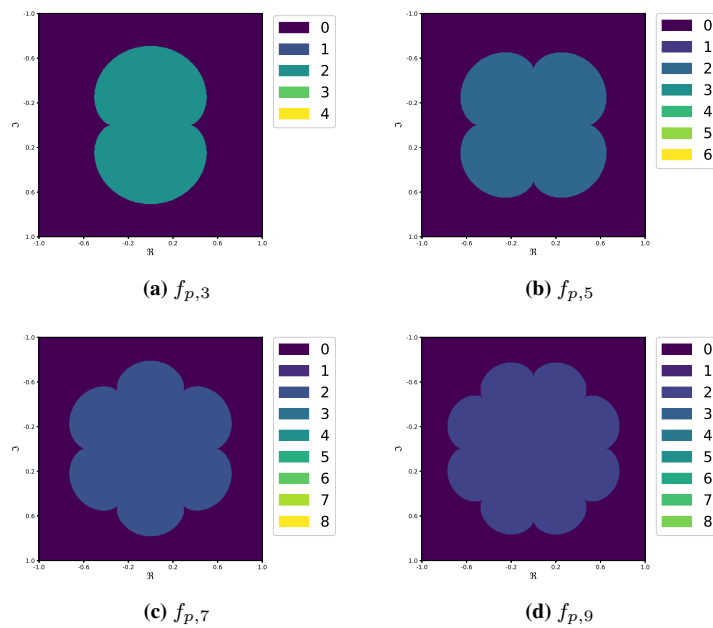
$$\begin{pmatrix} 0 & 0 & \dots & 0 & -\frac{p}{\bar{p}} \\ 1 & 0 & \dots & 0 & \frac{1}{\bar{p}} \\ 0 & 1 & \dots & 0 & 0 \\ \vdots & \vdots & \ddots & \vdots & \vdots \\ 0 & 0 & \dots & 1 & -\frac{1}{\bar{p}} \end{pmatrix}$$

mátrix sajátértéke a polinom gyökei, vagyis a keresett fixpontok.

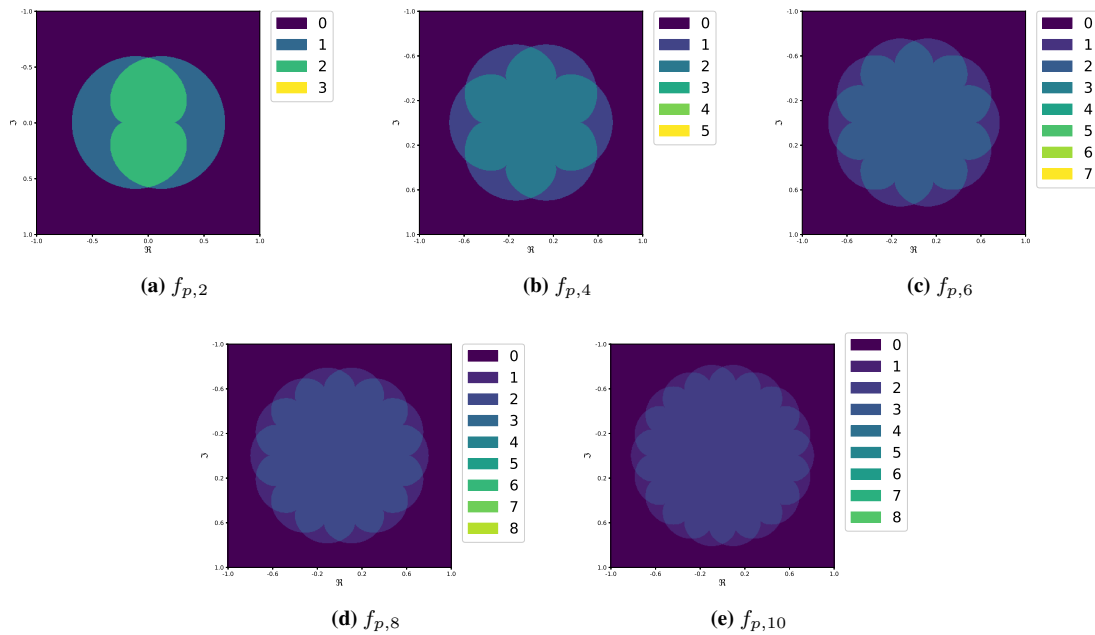
Az általánosításhoz, még a  $\lambda$  értéket kell meghatároznunk ami nem jelent problémát, hiszen csak egy deriváltat kell kiszámolni, majd kiértékelni.

$$\lambda_{z_0} = \frac{n|(1 + |p|^2)z^{n-1}|}{|(1 - \bar{p}z^n)^2|} \Big|_{z_0}$$

A fenti általánosításokkal kiegészítve az eredeti módszerünket, az  $n \in \{2, 3, 4, 5, 6, 7, 8, 9, 10\}$  esetekben a következőt kapjuk.



**11. ábra.** A páratlan  $n$  értékekhez tartozó ábrák ábrák.



12. ábra. A páros  $n$  értékekhez tartozó ábrák ábrák.

11. ábrán minden  $n$  esetén hasonló viselkedés figyelhető meg. Megfigyelhető, hogy az  $n$ -től függetlenül csak olyan  $p$  értékeket találtunk ahol 0 vagy 2 vonzó fixpontja van leképezésnek. És jellegzetes formák megjelenik meg a paramétertér szerkezetében. Minden páratlan  $n$  esetén,  $n - 1$  darab "szirmot" jelenik meg ahol a vonzó fixpontok száma 2, ezt pedig körbe fogja egy tér rész ahol nincsenek vonzó fixpontok.

12. ábra alapján: a páratlan  $n$ -ek esetéhez hasonlóan itt is megjelentek jellegzetes alakzatok a paraméter térben. Itt minden  $n$  esetén  $2(n - 1)$  darab olyan "szirmot" találtunk, ahol a 2 vonzó fixpont van, a másik szembeűnő különbség, hogy itt megjelen egy ezeket körülölelő tartomány ahol 1 vonzó fixpont van és ennek is  $2(n - 1)$  tagolódása van. Az előző esethez teljesen hasonlóan itt is körbe veszi az egész egy tartomány ahol nincsenek vonzó fixpontok.

A fenti ábrákon megjelenő struktúrák szimmetriát megmagyarázhatjuk a ha megvizsgáljuk a függvényt melyet vizsgálunk. A minden a fixpontok meghatározásának módja mind a leképezés deriváltja ismert. A fixpontok meghatározásához a fent felírt polinomegyenletet kell megoldani, ennek egy  $\mathbf{Z}(p)$  függvény a megoldása, ez egy  $\mathbf{Z} : \mathbf{C} \rightarrow \mathbf{V}^{n+1}(\mathbf{C})$  típusú függvény, azaz egy vektor értékű függvény, ahol a függvény értéke a fent definiált kísérő mátrix sajátértékei. A legyen a  $\lambda : \mathbf{V}^{n+1}(\mathbf{C}) \rightarrow \mathbf{V}^{n+1}(\mathbf{R}^+)$  függvény amit a  $\lambda$  gyökökön történő kiértékelése ként értelmezünk. Ekkor az általunk vizsgált függvény

$$\mathbf{F}(p) = (\lambda \circ \mathbf{Z})(p)$$

és legyen  $F(p)_i$  ennek az  $i$ . komponense.

És a fenti tulajdonságát pedig úgy vizsgálhatjuk, hogy megnézzük a definiált függvény adott  $p$  pontban vett értékének, hány komponense nagyobb mint egy. Tételezzük fel, hogy találunk egy vonzó fixpontot valamely

$p$  esetén, azaz valamely  $i \in \{1, 2, 3, \dots, n+1\}$  az  $F_i < 1$ . A továbbiakban, mivel eltérő viselkedést mutatnak az  $n$  páros, és páratlan értékéhez tartozó leképezések, külön vizsgáljuk a leképezéseket a fokaik szerint.

Elsőként nézzük a páratlan fokú leképezéseket. A következő lépés előtt általánosíthatjuk fixpontokat definiáló polinom egyenlet szimmetria tulajdonságait, amelyekről  $n = 3$  esetén már ejtettünk néhány szót.

Vegyük az  $n$ -ed fokú leképezéshez tartozó polinom egyenletet

$$\bar{p}z^{n+1} + z^n - z + p = 0$$

Egyértelmű ekkor, hogy  $p = \bar{p}$  esetén a bármely  $n$ -re az egyenlet megoldása a  $\bar{z}$  érték, ez a komplex konjugált tulajdonságaiból következik. Geometriailag gondolkodva ez azt jelenti, hogy egy a valós tengelyre szimmetrikus  $p$  térbeli tartomány képe, is szimmetrikus kell legyen a valós tengelyre tengelyre, ha fixpontok fázis tere szimmetrikus akkor a vonzó fixpontokét is érdemes vizsgálni. Ehhez a következő értéket kell kiszámolni.

$$F_i(\bar{p}) = \frac{n|(1 + |\bar{p}|^2)Z(\bar{p})_i^{n-1}|}{|(1 - pZ(\bar{p})_i^n)^2|}$$

Kihasználva, hogy  $|p| = |\bar{p}|$ , és fent leírtak miatt, hogy  $Z(\bar{p})_i = \overline{Z(p)_i}$

$$F_i(\bar{p}) = \frac{n|(1 + |\bar{p}|^2)\overline{Z(p)_i}^{n-1}|}{|(1 - p\overline{Z(p)_i}^n)^2|}$$

Az abszolút érték és komplex konjugálás tulajdonságait kihasználva,

$$F_i(\bar{p}) = \frac{n(1 + |\bar{p}|^2)|Z(p)_i^{n-1}|}{|(1 - \bar{p}Z(p)_i^n)^2|} = F_i(p)$$

Tehát ha  $p$ -hez tartozó  $z$  vonzó fixpont akkor a  $\bar{p}$ -hez  $\bar{z}$  is, vagy is a vonzó fixpontok tere szimmetrikus a valós tengelyre.

Ebből kiindulva más szimmetria tulajdonságokat is vizsgálhatunk. Nézzük a képzetes tengelyre vett tükrözést mint szimmetriát, azaz  $p \rightarrow -\bar{p}$  áttérést, ekkor a fixpontokat definiáló egyenlet

$$-pz^{n+1} + z^n - z - \bar{p} = 0$$

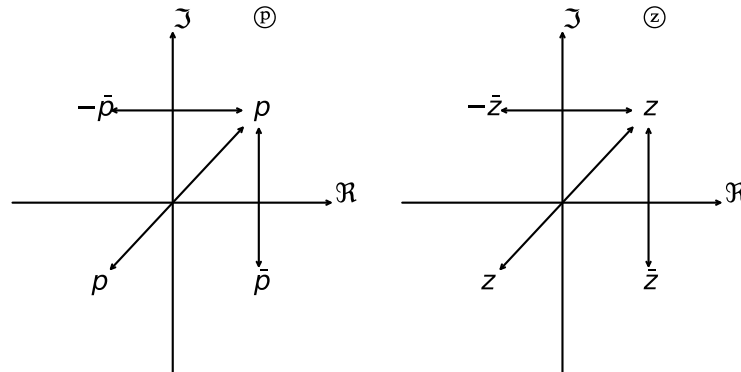
Néhány algebrai átalakítás és az egyenlet komplex konjugálása után

$$\bar{p}(-\bar{z})^{n+1} + (-\bar{z})^n - (-\bar{z}) + p = 0$$

Vagy is az áttérés esetén az egyenlet gyökei  $-\bar{z}$  értékek, ahol a  $z$  a  $p$ -hez tartozó egyenlet gyökei. Az előző esethez hasonlóan a itt is kiszámolhatjuk az  $F_i(-\bar{p})$  értékét.

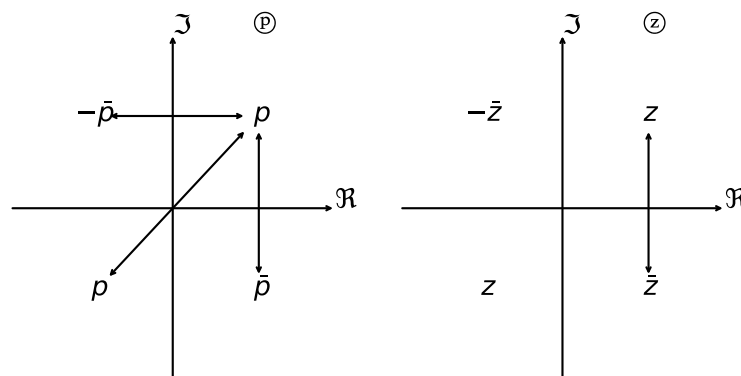
$$F_i(-\bar{p}) = \frac{n|(1 + |\bar{p}|^2)Z(-\bar{p})_i^{n-1}|}{|(1 + pZ(-\bar{p})_i^n)^2|} = \frac{n|(1 + |\bar{p}|^2)\overline{Z(p)_i}^{n-1}|}{|(1 - p\overline{Z(p)_i}^n)^2|} = \frac{n(1 + |\bar{p}|^2)|Z(p)_i^{n-1}|}{|(1 - \bar{p}Z(p)_i^n)^2|} = F_i(p)$$

Tehát a paraméter térbeli tartományok olyan, hogy minden benne lévő  $p$  esetén tartalmazza a  $-\bar{p}$  is, más szavakkal szimmetrikus a képzetes tengelyre, akkor a vonzó fixpontok tartománya is. A fenti két tulajdonság következmény, hogy ha a paraméter szimmetrikus a középpontra akkor a vonzó fixpontok tere is.



**13. ábra.** A dinamika fixpontjainak és a paraméter térnek a kapcsolata páros  $n$  esetén

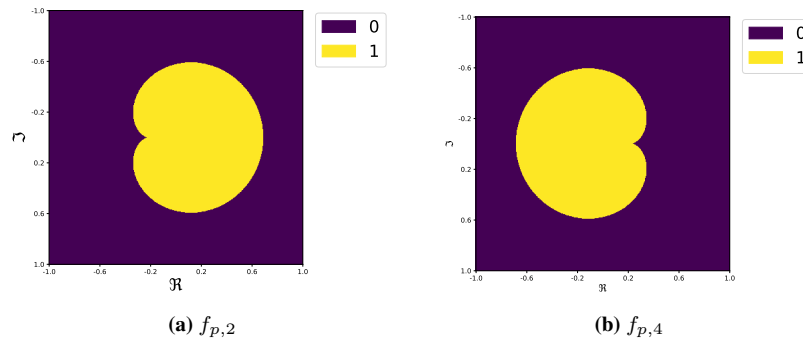
Nézzük most a páros fokú leképezéseket. Ekkor fixpontokat definiáló egyenlete tulajdonságai miatt, ami most egy páratlan fokszerű polinom egyenlet, csak a valós tengelyre vett szimmetria teljesül, ami a numerikus számítások is tükröznek. Itt marad egy nyitott kérdés, a fenti számítások esetén mégis azt tapasztaltuk, hogy fixpontok tere minden  $n$  esetén szimmetrikus a középpontra. Ez azért van mert a polinom összes gyökét vizsgáltuk együtt.



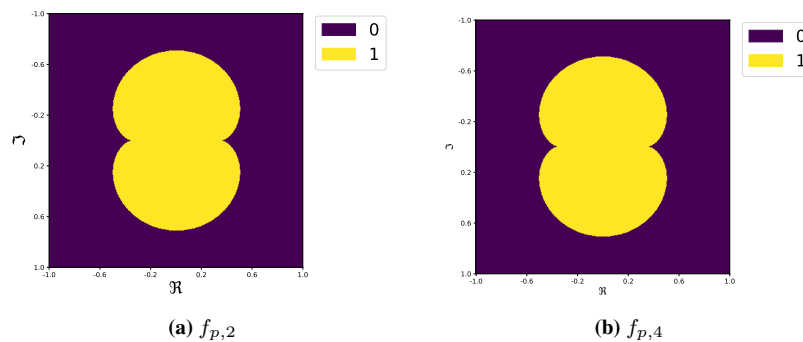
**14. ábra.** A dinamika fixpontjainak és a paraméter térnek a kapcsolata páros  $n$  esetén

A két eset, páros és páratlan, között is felfedezhető kapcsolat, a paraméter tér nagyon hasonló. A numerikus számítások azt sugallják, hogy minden  $n$  esetén van két olyan  $z$  fixpont amely adott  $p$ -térbeli tartományokon vonzó, ezek alakja azonos, viszont egymáshoz képest  $\pi(n+1)$  szöggel el vannak forgatva, azaz  $e^{i\pi(n+1)}$ -vel szorozva, ekkor páratlan  $n$  esetén pontosan fedésbe kerülnek, így egy tartomány jelenik meg,

ahol két vonzó fixpont van, míg páratlan  $n$  esetén előfordulnak olyan tartományok ahol az adott gyökhöz tartozó tartományok nem fedik egymást, így itt csak egy vonzó fixpont tartozik.



**15. ábra.** Az  $f_2$  leképezés két gyökéhez tartozó vonzó fixpontok, harmadik gyök esetén nem találtunk vonzó fixpontokat.



**16. ábra.** Az  $f_3$  leképezés két gyökéhez tartozó vonzó fixpontok, a további gyökök esetén nem találtunk vonzó fixpontokat.

A tasztító fixpontok olyan, a vonzó fixpontokéhoz hasonló analízist nem végeztem mert a definícióból következően számuk eloszlása pont ellentétes mint a vonzó fixpontoké.

## Kritikus pontok

A komplex dinamikák lényeges tulajdonságai ismerhetők meg a kritikus pontjai viselkedésén keresztül. A dinamika kritikus pontjai azok, ahol az idő fejlődést adó leképezés deriváltja nullát vesz fel.

Esetünkben a leképezés deriváltja

$$\frac{\partial f(z)}{\partial z} = \frac{3(1 + |p|^2)z^2}{(1 - pz^3)^2} \quad (0.22)$$

A kritikus pontok meghatározása a következő egyenletet kell megoldanunk:

$$\frac{3(1 + |p|^2)z^2}{(1 - pz^3)^2} = 0 \Rightarrow (1 + |p|^2)z^2 = 0, \text{ ha } (1 - pz^3)^2 \neq 0 \quad (0.23)$$



Ennek megoldása  $z = 0$  ha  $(1 - pz^3)^2 \neq 0$ , 2 multiplicitással. A további gyökök meghatározáshoz, a derivált értékét a végtelen helyen is meg kell határoznunk, ehhez pedig a  $\hat{\mathbb{C}}$  másik térképét kell használnunk.

A leképezések ekkor:

$$\frac{1}{z} \circ f_p \circ \frac{1}{z} = \frac{1}{z} \circ \frac{p + z^3}{1 - \bar{p}z^3} \circ \frac{1}{z} = \frac{-\bar{p} + z^3}{1 + pz^3} = f_{-\bar{p}} \quad (0.24)$$

Ekkor a leképezés deriváltja

$$\left. \frac{\partial f_p(z)}{\partial z} \right|_{\infty} = \left. \frac{\partial f_{-\bar{p}}(z)}{\partial z} \right|_0 = \left. \frac{3(p^2 + 1)z^2}{(pz^3 + 1)^2} \right|_0 = 0 \quad (0.25)$$

Tehát a leképezésnek a  $\infty$  is kritikus szintén 2 multiplicitással. Ezek alapján a leképezésnek megtaláltuk a kritikus pontjait, szám szerint négyet, melyek közül kettő-kettő azonos, más megfogalmazásban két 2 multiplicitású fixpontot.

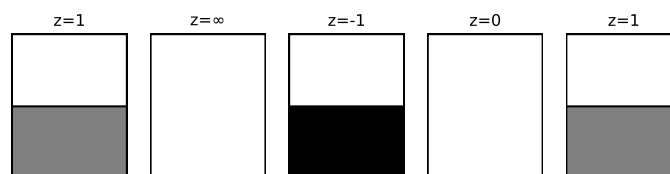
A kritikus pontok viselkedésének, és ezzel a dinamika vizsgálatához be kell fizetnünk néhány fogalmat.

## Fázistérbeli orbitok

A bevezetőben már említésre került ugyan, de nem kapott definíciót az adott pontból induló trajektória vagy orbit, gyakrabban az utóbbi elnevezést használjuk.

*Definíció:* Az  $\Omega(z, f) := \{z_0, f(z_0), f^{\circ 2}(z_0) \dots f^{\circ n-1}(z_0)\} \subseteq \hat{\mathbb{C}}$  halmazt a  $z_0$  pontból induló orbitnak nevezzük, melynek hossza  $n$ . Ha  $f^{\circ n}(z_0) = z_0$  akkor  $\Omega(z, f)$  egy  $n$  hosszú vagy periódusú periodikus orbit, vagy ciklus, és pontjai periodikus pontok.

Felhasználva a bevezetőben a qubitek vizualizációjára leírt módszert, ábrázolhatunk orbitokat.



**17. ábra.** Az  $f_{3,1}$  leképezéshez tartozó  $z = 1$  induló periodikus orbit.

Egyértelműen definiálható a  $z_0$  pontból induló periodikus orbit sajátértéke, amit nyújtásnak (multiplier) nevezünk, és a következő komplex mennyiséggel adható meg

$$\lambda = \left. \frac{\partial f^{\circ n}(z)}{\partial z} \right|_{z_0} = f'(z_0) \cdot f'(z_1) \cdot f'(z_2) \cdots f'(z_n)$$

A  $\lambda$  értéke szerint a periodikus orbit lehet:

- taszító, ha  $|\lambda| > 1$
- semleges, ha  $|\lambda| = 1$
- vonzó, ha  $|\lambda| < 1$

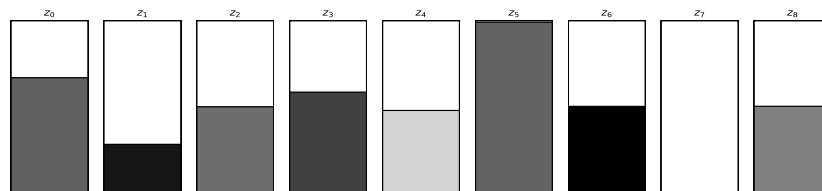
- szuper vonzó, ha  $|\lambda| = 0$

Észrevehető, hogy a fenti tulajdonságok a fixpontokra bevezet tulajdonságok általánosítása, ami nem meglepő hiszen a fix pontok az 1 hosszúságú periodikus orbitok. Abban az esetben ha a  $\infty$  is része a ciklusnak, akkor a  $\lambda$  nem egyenlő a  $z \rightarrow \infty$  határesettel. Ebben az esetben be kell vezetni a  $\infty$  pont körül a  $w = 1/z$  paramétert, ekkor a  $w \rightarrow 1/f(1/w)$  hozzárendeléshez 0 körüli orbit nyújtása azonos lesz az  $f$ -hez tartozó  $\infty$  körüli orbit nyújtásával. Ez igazából az előző pontban is használt másik térképre való áttérésnek felel meg.

Vonzó periodikus orbitok esetén definiálható, egy  $S_{in\hat{C}}$  nyílt halmaz, mely tartalmaz minden olyan  $z \in \hat{C}$  pontot melynek iterálja a periodikus orbit valamely pontjához tart, ez a periodikus orbit tbfvonzási tartománya.

Egy  $z_0 \in \hat{C}$  pont fő orbitja, az  $\hat{\Omega}(z_0, f)$  halmaz, amely tartalmazza az összes  $z \in \hat{C}$  pontot amelyet érinthet az  $z_0$ -ból induló orbit. A definíció értelmében ha  $z$ -nek és  $z'$ -nek akkor és csakis akkor azonos a fő orbitjuk ha van olyan  $n \geq 0$  és  $m \geq 0$ , hogy

$$f^{\circ n}(z) = f^{\circ m}(z')$$



**18. ábra.** Az  $f_{3,1}$  leképezéshez tartozó  $z_0 = 1 + i$ -ből induló orbit. Látható, hogy konvergál a  $z = 1$  ponthoz tartozó periodikus orbithoz, tehát benne van a vonzási tartományában.

## Hivatkozások

- [1] John Milnor - DYNAMICS IN ONE COMPLEX VARIABLE
- [2] John Milnor - ON LATTICES MAPS
- [3] ROGER A. HORN, CHARLES R. JOHNSON - MATRIX ANALYSIS
- [4] Pach Zs.Pálné - KOMPLEX FÜGGVÉNYtan *KathleenT.Alligood, TimD.Sauer, JamesA.Yorke : CHAOS – AnIntroductiontoDynamicalSystems.Springer, 1996*